

## 23. 海上におけるレーザ光透過率

横井 武長

米子工業高等専門学校

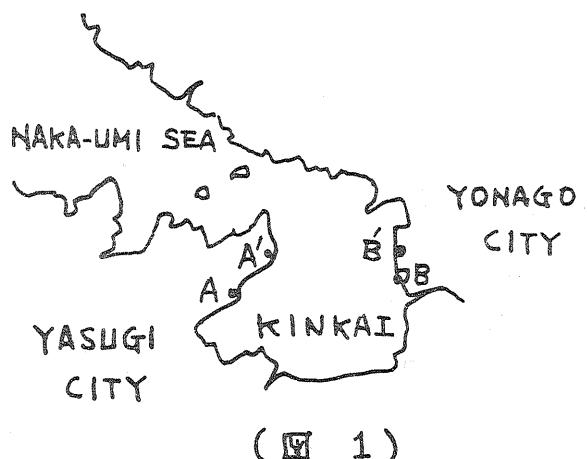
### 1. 実験の概要

ネオン・ヘリウムレーザ ( $\lambda = 0.6328\text{ }\mu$ , 10mW or 15mW) を用いて、海面上における光透過率の測定を行なった。実験場所は図1に示すように中海の一部分（錦海湾）である。

図中 A 或いは A' はレーザをあいた安来市の海岸、B または B' は受光器のおかれたり米子市の海岸である。ビームはこれら両地真向：A-B, A'-B'

約 2km の距離を海面から約 1.6 m

の高さで水平に伝播させた。オ1回の実験は 1969年8月～1970年8月の間、オ2回は 1975年10月～11月 に行なった。この実験では気温、湿度の同時測定、ジェットインパクターによる海塩粒子と非吸湿性粒子の同時サンプリングを行ない、オ2回の実験では更にハイボリュームサンプラーによるサンプリングをつけ加えた。光強度のモニターには、レーザのバツクライトを測定する方法と、モニター鏡を使う方法とを用いた。実験におけるビーム角は、約  $5.9 \times 10^{-5}$  ラジアンであった。



(図 1)

## 2. 実験 I の結果

採集した非吸湿性粒子は主に砂粒であるがその粒径・個数の測定結果によれば、レーザ光に対する消衰係数の平均は、 $\bar{\alpha}_s = 1.6 \times 10^{-7} \text{ cm}^{-1}$  となり光の減衰に対する主な制御因子ではないことがわかった。海塩粒子については 136 枚のサンプルについて調べた。この実験区域は大都会からはなれているため、空中浮遊物は上記砂粒以外はすべて海塩であると仮定し、実験結果から粒子表面における相対湿度を求めた。海塩のサンプルは、半径 1μ 以上の巨大粒子の範囲であったが、0.01μ ~ 30μ 程度の範囲の分布を考え、また Junge 型の分布

$$\frac{dN}{d \log r} = C r^{-\beta} \quad (1)$$

を仮定して分布モデルをつくった。茲に N は個数、r は半径、C と β は定数である。液滴の半径と、その表面における相対湿度との関係は MASON (1957) の式

$$\frac{EQRH}{100} = \exp \left( \frac{2\pi M_w}{\rho R T r} \right) \cdot \left\{ 1 - \frac{8.6m}{W r^3} \right\} \quad (2)$$

によって与えられる。茲に EQRH は粒子表面における平衡相対湿度、r : 半径、γ : 表面張力、ρ : 密度、M<sub>w</sub> : 分子量(水)、W : 分子量(溶質)、m : 塩質量、R : Universal gas constant、T : 気温、である。上記モデルに (2) 式を考慮し、サンプルから EQRH との C 値 ( $C_0$ ) を決めることができる。一方レーザ光透過率  $I/I_0$  の観測値からも、このモデルを用いて C 値は。

$$C_m = \frac{\beta \ln(I/I_0)}{\pi r_{\text{mean}}^2 \cdot F M l (r_{\min}^{-\beta} - r_{\max}^{-\beta})} \quad (3)$$

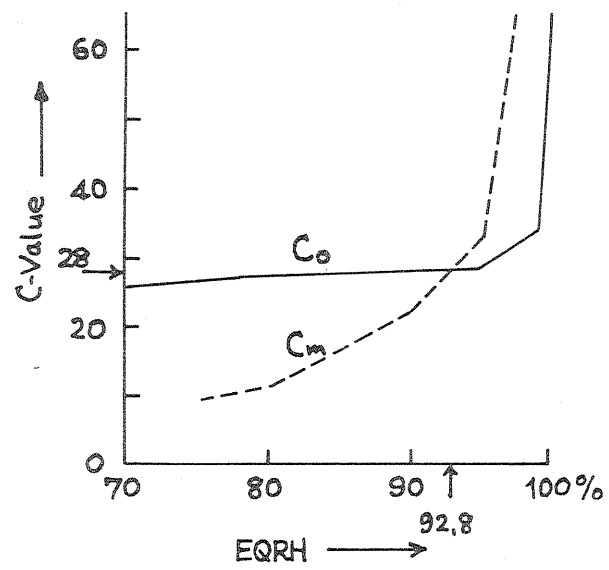
と与えられる。茲に  $M = \ln 10 = 0.4343$ 、F は平均消衰効率、l は伝送距離である。 $C_0$  と  $C_m$  は EQRH の関数であるから、これらの交換をグラ

$\beta$ より求める(図2)。このようにして  $C$  と EQRH とを同時に求めた結果、EQRH は図3のようになって、周囲空気の相対湿度より、一般に高い結果となつた。

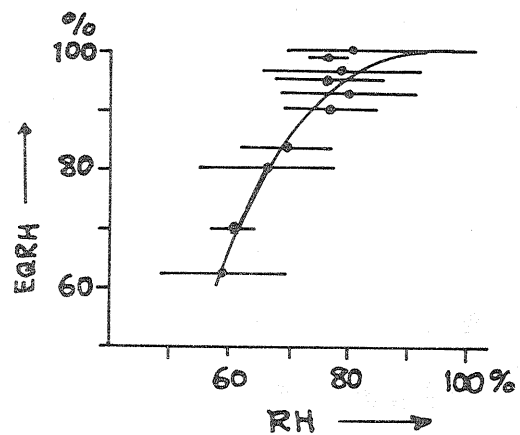
### 3. 実験 II の結果

実験 Iにおいては、エエロゾルは、砂と海塩のみであるとの観察から行なつたが、図3の肉眼的説明には、他の粒子の混入を考えざるを得ないので、そのためハイボリュームによるサンプリングを加えた。フィルターにはガラス纖維フィルター、ゲルマン A を用いた。

これによって採取される粒子の粒径分布は、走査電顕と光学顕微鏡とを併用して調べた。その結果を図4に示す。この図では粒子はすべて乾燥状態としてある。図中太い実線はハイボリュームによる粒子の分布である。細い実線はインパクター



(図2)



(図3)

により捕集された海塩の分布から得られるもので実際のサンプルでは、半径1μ以上の大粒子のみである。 $(dN/d\log r)$  の値について、海塩と砂を加えた値が、ハイボリュームによる値より低い部分では、その差に当る分だけ汚染物質があるものとして、粒子の溶液状態のときの光透過に及ぼす効果を調べた。汚染物質としては、 $H_2SO_4$  と  $HN_3$  を仮定した。この調査の結果、サンプルから計算した消衰係数は、 $4.6 \times 10^{-7} \text{ cm}^{-1}$  程度で、レーザ光透過率から得られる  $17 \times 10^{-7} \text{ cm}^{-1}$  に比べるとはるかに小さい値となる。

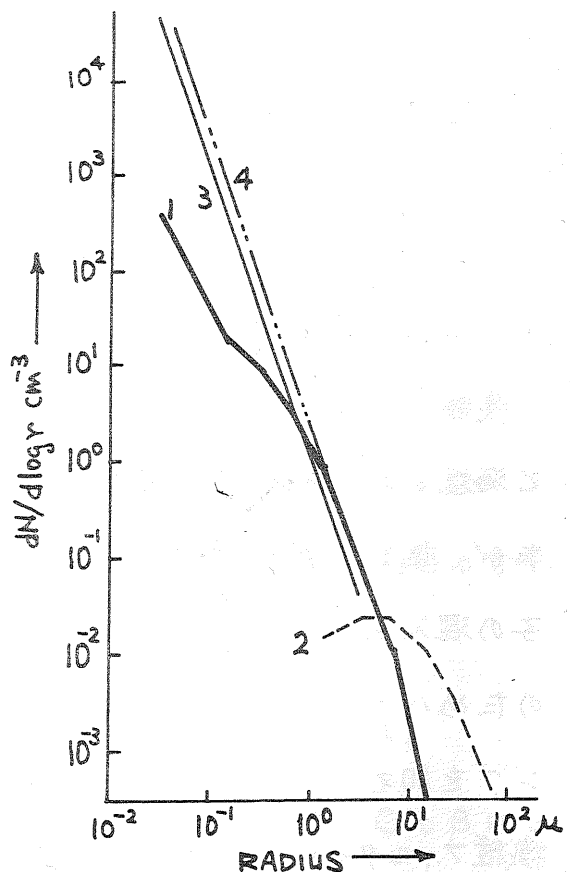
換言すればサンプルの結果、空中浮遊物の量を過小評価していることになる。

その原因としては、フィルターの纖維の間に粒子が落ち込むことが考えられる。

電子顕微鏡の焦距深度は2μm程度であるから、0.5mmの厚さのフィルター内部に一杯に粒子が分布する場合、その個数の評価は1/250程度に落ちることになる。また大きな粒子はフィルター表面から散逸する可能性をもつ。半径0.90μm～4.7μm程度のサンプルは、纖維間隔からみても信頼できるデータであるから、このデータを基にして分布の補正を行なった。

海塩および汚染物質はJunge分布( $\beta=3$ )をなすものとみなしこれをもとにした結果は、細い実線(海塩)、二重鎖線(汚染物質)となる。補正された分布をもとにして、光の消滅係数を計算すると、レーザー観測から得られる値とかなりよく一致した。またこの補正分布について質量を計算した結果も、測定値とかなり良い一致をした。従って次に述べる関係は、

- i) 汚染物質の存在と ii) 海塩、汚染物質のサブミクロン領域でのJunge分布の仮定、この二つによって理解することができた。



(図4)